

**МЕХАНИКА  
ЖИДКОСТИ И ГАЗА  
№ 5 • 1975**

УДК 533.6.011

**АНАЛИТИЧЕСКИЙ РАСЧЕТ АЭРОДИНАМИЧЕСКИХ  
ХАРАКТЕРИСТИК ТЕЛ ВРАЩЕНИЯ В УСЛОВИЯХ  
ЗАКОНА ЛОКАЛЬНОСТИ**

**А. И. БУНИМОВИЧ, В. Г. ЧИСТОЛИНОВ**

*(Москва)*

Излагается аналитический метод расчета аэродинамических сил, действующих на выпуклое тело вращения, движение которого удовлетворяет условиям закона локальности, т. е. импульс силы, действующей на элемент поверхности, зависит только от режима обтекания и местного угла между скоростью и нормалью к поверхности. Решение представлено в форме, где явно выделено влияние параметров, характеризующих форму обтекаемого тела, угла атаки и режима обтекания. Получены универсальные выражения для ряда коэффициентов, справедливые для любого тела вращения. Проведен расчет аэродинамических характеристик четырехпараметрического семейства тел вращения на режиме гиперзвукового обтекания в газе различной степени разреженности.

1. В работе [1] для произвольного тела вращения, которое движется в потоке газа или света в условиях закона локальности, в системе независимых углов  $\alpha, \varphi$ , задающих ориентацию единичного вектора скорости  $\mathbf{v}(\alpha, \varphi)$  в связанной с телом системе координат  $(\mathbf{i}_1, \mathbf{i}_2, \mathbf{i}_3)$ , получены основные дифференциальные соотношения для коэффициентов лобового сопротивления  $c_x$  и подъемной силы  $c_y$

$$(1.1) \quad c_{x_\alpha}^{-1}(\alpha) = (R+1)c_y$$

$$(1.2) \quad L[c_x^{-1}] = c_{x_\alpha}^{-1} + \operatorname{ctg} \alpha c_{x_\alpha}^{-1} + (R+1)(R+2)c_x^{-1} = (R+1)\Psi_R$$

где

$$(1.3) \quad c_x^{-1}(\alpha) = c_x(\alpha) + N_R, \quad \Psi_R = \Phi_R + (R+2)N_R, \quad c_{x_\alpha}^{-1} = dc_x^{-1}/d\alpha$$

$N_R$  и  $\Phi_R$  — функции [1], зависящие от  $\alpha$ , геометрии тела вращения  $(\mathbf{v} \cdot \mathbf{n})$ , коэффициентов  $A_k$  и  $B_k$  разложения коэффициентов безразмерного локального давления  $c_p$  и касательного напряжения  $c_t$ ,

$$(1.4) \quad c_p = \sum_{k=1}^R A_k (\mathbf{v} \cdot \mathbf{n})^k, \quad c_t = (\mathbf{v} \cdot \mathbf{t}) \sum_{k=1}^{R-1} B_k (\mathbf{v} \cdot \mathbf{n})^k$$

Здесь  $\mathbf{n}$  и  $\mathbf{t}$  — орты внутренней нормали и касательной к элементу поверхности;  $A_k, B_k = f_k(M, Re, T_w, \dots)$  — коэффициенты, зависящие от режима обтекания, которые могут быть получены из известных теоретических или экспериментальных представлений [2].

Система (1.1), (1.2) допускает аналитическое решение относительно  $c_x^{-1}(c_x)$  и  $c_y$  во всем диапазоне углов атаки для произвольного выпуклого тела вращения и произвольного вида разложения локального импульса (1.4).

Отметим, что замена (1.3) улучшает гладкость правой части уравнения  $L(c_x)$  на два порядка, что имеет существенное значение при фактическом решении этого уравнения.

2. Для определения аэродинамических характеристик заданного тела нужно найти функцию  $c_x^1(\alpha)$ , непрерывную и ограниченную на отрезке  $0 \leq \alpha \leq \pi$ , удовлетворяющую уравнению (1.2) и граничным условиям

$$(2.1) \quad |\lim_{\alpha \rightarrow 0} c_x^1(\alpha)| < \infty \quad |\lim_{\alpha \rightarrow \pi} c_x^1(\alpha)| < \infty$$

Решение задачи (1.2), (2.1) ищется методом разложения по собственным функциям соответствующей однородной задачи [3]. Уравнение для собственных функций и собственных значений оператора  $L[c_x^1]$  имеет вид

$$(2.2) \quad c_{xx}^1 + \operatorname{ctg} \alpha c_{x_\alpha}^1 + (R+1)(R+2)c_x^1 + \lambda c_x^1 = 0$$

Краевая задача (2.1), (2.2) является сингулярным случаем краевой задачи для однородного дифференциального оператора  $L[c_x^1]$ ; граничные условия (2.1) этой задачи эквивалентны однородным граничным условиям.

Заменой переменных  $x = \cos \alpha$  уравнение (2.2) сводится к уравнению Лежандра [4]

$$(2.3) \quad \frac{d}{dr} \left[ (1-x^2) \frac{dc_x^1}{dx} \right] + [(R+1)(R+2) + \lambda] c_x^1 = 0$$

решения которого существуют при любых комплексных значениях  $\lambda$ . Однако решение уравнения (2.3), удовлетворяющее граничным условиям (2.1), существует лишь при

$$(2.4) \quad \lambda_n = n(n+1) - (R+1)(R+2) \quad n=0, 1, 2, \dots$$

и представляет собой полиномы Лежандра

$$P_n(x) = \frac{1}{2^n n!} \frac{d^n}{dx^n} (x^2 - 1)^n$$

Следовательно, вся совокупность собственных значений  $\lambda_n$  линейного оператора  $L[c_x^1]$  с граничными условиями (2.1) выражается соотношением (2.4) и соответствующая ей полная замкнутая система ортогональных в области  $\alpha \in [0, \pi]$  собственных функций имеет вид

$$(2.5) \quad c_{xn}^1 = P_n(\cos \alpha)$$

Для решения неоднородного уравнения (1.2) с граничными условиями (2.1) раскладываем на отрезке  $0 \leq \alpha \leq \pi$  функцию  $\Psi_R(\alpha)$  в ряд Фурье по собственным функциям (2.5).

$$(2.6) \quad \Psi_R(\alpha) = \sum_{n=0}^{\infty} b_n P_n(\cos \alpha), \quad b_n = \frac{2n+1}{2} \int_0^{\pi} \Psi_R(\alpha) P_n(\cos \alpha) \sin \alpha d\alpha$$

Решение неоднородной задачи ищется в виде ряда с неопределенными коэффициентами  $c_n$

$$(2.7) \quad c_x^1(\alpha) = \sum_{n=0}^{\infty} c_n P_n(\cos \alpha)$$

Как известно [3], решение задачи существует и единствено, если ни одно из собственных значений  $\lambda_n$  соответствующей однородной задачи не равно нулю. Из (2.4) следует, что в рассматриваемом случае собственное значение  $\lambda_{R+1}$  равно нулю.

Следовательно, для того чтобы решение задачи (1.2), (2.1) существовало, необходимо наложить дополнительное условие на функцию  $\Psi_R(\alpha)$ , потребовав, чтобы коэффициент  $b_{R+1}$  равнялся нулю.

Как показал анализ функции  $\Psi_R(\alpha)$  и конкретные расчеты, функция  $\Psi_R(\alpha)$  для рассматриваемого класса задач удовлетворяет этому условию.

При этом решение задачи (1.2), (2.1) существует, но неединственно, так как собственная функция  $P_{R+1}(\cos \alpha)$  с точностью до произвольной постоянной также удовлетворяет данной задаче.

Окончательное решение для приведенного коэффициента лобового сопротивления  $c_x^1(\alpha)$  произвольного тела вращения и произвольного вида разложения локального импульса (1.4) во всем диапазоне углов атаки будет иметь вид

$$(2.8) \quad c_x^1(\alpha) = cP_{R+1}(\cos \alpha) + \sum_{n=0}^{\infty} c_n P_n(\cos \alpha),$$

$$c_n = \frac{(R+1) b_n}{[(R+1)(R+2) - n(n+1)]}, \quad n \neq R+1$$

Физический коэффициент лобового сопротивления  $c_x$  и коэффициент подъемной силы  $c_y$  определяются из соотношений (1.3) и (1.1).

Константа интегрирования  $c$  находится из условий конкретной задачи по известному расчетному или экспериментальному значению  $c_x$  в одной точке.

Как показал анализ результатов расчета, определение константы интегрирования по экспериментальным данным в значительной мере уменьшает неточности «закона локальности».

В случае, когда правая часть уравнения (1.2) имеет специальный вид, допускающий определение частного решения  $F(\alpha)$ , удовлетворяющего граничным условиям (2.1), решение задачи может быть записано в форме

$$c_x^1(\alpha) = cP_{R+1}(\cos \alpha) + F(\alpha)$$

Отметим, что решение уравнения, подобного уравнению (1.2), для частного случая, когда из всех коэффициентов разложения (1.4) отличен от нуля лишь один,  $A_2 \neq 0$ , рассматривалось в работе [5].

Однако в [5] решение строилось по отрезкам непрерывности функции  $\Psi_R(\alpha)$  и ее производной, что требует использования функций Лежандра второго рода и существенно усложняет расчет.

3. Для сокращения объема выкладок при исследовании функции  $\Psi_R(\alpha)$  и полученных решений в дальнейшем ограничимся случаем  $R=2$ , который соответствует, в частности, гиперзвуковому ньютоновскому течению, движению тела в разреженном газе и в потоке света.

В этом случае решение (2.8) принимает вид

$$(3.1) \quad c_x^1(\alpha) = cP_3(\cos \alpha) + \sum_{\substack{n=0 \\ n \neq 3}}^{\infty} c_n P_n(\cos \alpha), \quad c_x = c_x^1 - N_2(\alpha)$$

Функции  $N_2(\alpha)$  и  $\Psi_2(\alpha)$ , полученные в работе [1], можно записать в форме

$$(3.2) \quad N_2(\alpha) = -B_1 * J^I(\alpha) + \frac{1}{2} A_1 * J^{III}(\alpha)$$

$$(3.3) \quad \Psi_2(\alpha) = A_1 * J^{IV}(\alpha) + 2(A_2 * - B_1 *) J^I(\alpha)$$

$$(3.4) \quad J^I(\alpha) = \int_{S^*} (\mathbf{v} \cdot \mathbf{n}) dS, \quad J^{II}(\alpha) = \int_{S^*} dS$$

$$J^{III}(\alpha) = \int_{S^*} (\mathbf{v} \cdot \mathbf{n})^2 dS, \quad J^{IV}(\alpha) = J^{II}(\alpha) + 3J^{III}(\alpha)$$

$$A_h^* = A_h / S_R, \quad B_h^* = B_h / S_R$$

Здесь  $S_R$  — характерная площадь,  $S^*$  — «освещенная» площадь  $(\mathbf{v} \cdot \mathbf{n}) \geq 0$ ; в дальнейшем для простоты звездочки у  $A_h^*$  и  $B_h^*$  опускаются. Коэффициенты  $c_n$  в решении (3.1) и коэффициенты  $b_n$  разложения функции  $\Psi_2(\alpha)$  в ряд (2.6) можно выразить через  $b_n^I, b_n^{II}, b_n^{III}, b_n^{IV}$  — коэффициенты разложения функций  $J^I(\alpha), J^{II}(\alpha), J^{III}(\alpha), J^{IV}(\alpha)$  в ряды, аналогичные (2.6)

$$(3.5) \quad b_n = A_1 b_n^{IV} + 2(A_2 - B_1) b_n^I, \quad c_n = A_1 c_n^{IV} + 2(A_2 - B_1) c_n^I$$

$$b_n^{IV} = b_n^{II} + 3b_n^{III}$$

$$(3.6) \quad c_n^{I,IV} = -3b_n^{I,IV} [n(n+1) - 12]^{-1}, \quad n \neq 3$$

Здесь (3.6) следует из (2.8).

Проведенные расчеты аэродинамических характеристик различных тел вращения и оценки показали, что ряд (3.1) быстро сходится и его можно аппроксимировать с точностью 1% полиномом степени  $n=7$ .

Априорный анализ функций (3.4) для произвольного тела вращения позволил получить приводимые ниже универсальные выражения всех коэффициентов  $b_n^I, b_n^{II}, b_n^{III}, b_n^{IV}$ , которые зависят только от формы тела вращения, что существенно сокращает объем вычислений при расчете характеристик конкретного тела вращения

$$(3.7) \quad b_{2n+1}^I = 0 \quad (n=0, 1, 2, \dots) \quad b_0^I = S_0 / 4$$

$$b_{2n}^I = B_{2n} \left\{ S_0 + 2\pi \int_{x_0}^{x_1} H(x) \chi_{2n}(\cos \beta) dx \right\}, \quad n=1, 2, 3, 4$$

$$B_{2n} = \frac{(-1)^{n+1}}{2^{n+2}} \frac{4n+1}{2n-1} \frac{(2n-1)!!}{(n+1)!}$$

$$b_0^{III} = \frac{1}{6} S_0, \quad b_1^{III} = 0, \quad b_2^{III} = \frac{16}{15} b_2^I, \quad b_{2n}^{III} = 0 \quad (n=2, 3, \dots)$$

$$(3.8) \quad b_{2n+1}^{III} = B_{2n+1} \pi \int_{x_0}^{x_1} M(x) \chi_{2n+1}(\cos \beta) dx \quad (n=1, 2, 3)$$

$$B_{2n+1} = \frac{(-1)^{n+1}}{2^{n+2}} \frac{4n+3}{2n-1} \frac{(2n-1)!!}{(n+2)!}$$

$$b_0^{IV} = 6b_0^{III}, \quad b_1^{IV} = 0, \quad b_2^{IV} = 3b_2^{III}, \quad b_3^{IV} = 0$$

$$b_{2n}^{IV} = 0 \quad (n=2, 3, 4, \dots), \quad b_5^{IV} = -9b_5^{III}, \quad b_7^{IV} = -22b_7^{III}$$

$$\beta = \operatorname{arctg} \left( \frac{dr}{dx} \right), \quad M(x) = r(x) \frac{dr}{dx}, \quad H(x) = \frac{r(x)}{\cos \beta}$$

$$S_0 = 2\pi \int_{x_0}^{x_1} H(x) dx + \pi(r_0^2 + r_1^2)$$

$$\chi_2(z) = -\frac{3}{2}z^2, \quad \chi_3(z) = -5z^2, \quad \chi_4(z) = 5z^2 \left( -1 + \frac{7}{8}z^2 \right)$$

$$\chi_5(z) = 7z^2 \left( -2 + \frac{9}{4}z^2 \right), \quad \chi_6(z) = 21z^2 \left( -\frac{1}{2} + \frac{9}{8}z^2 - \frac{11}{16}z^4 \right)$$

$$\chi_7(z) = \frac{99}{2}z^2 \left( -\frac{6}{11} + \frac{3}{2}z^2 - \frac{13}{12}z^4 \right)$$

$$\chi_8(z) = \frac{99}{2}z^2 \left( -\frac{4}{11} + \frac{3}{2}z^2 - \frac{13}{6}z^4 + \frac{65}{64}z^6 \right)$$

Здесь  $r(x)$  — уравнение образующей тела вращения,  $S_0$  — полная поверхность тела вращения,  $r_0$  и  $r_1$  — радиусы переднего и заднего торцевых затуплений соответственно.

Используя (3.6)–(3.9), решение для произвольного тела вращения во всем диапазоне углов атаки  $0 \leq \alpha \leq \pi$  можно записать в форме

$$(3.10) \quad c_x^{-1}(\alpha) = cP_3(z) + \frac{3}{2}A_1[b_0^{III} + b_2^{III}P_2(z) + b_5^{III}P_5(z) + b_7^{III}P_7(z)] +$$

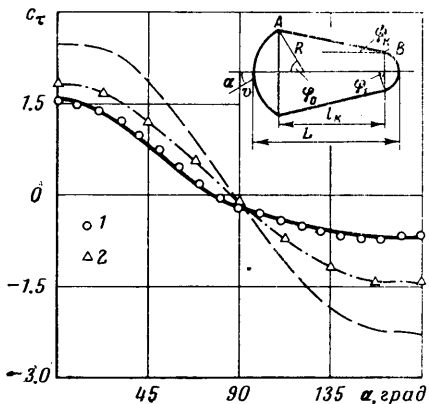
$$+ 2(A_2 - B_1) \sum_{n=0}^3 \frac{3}{12 - 2n(2n+1)} b_{2n}^{I} P_{2n}(z), \quad z = \cos \alpha$$

В выражении (3.10) явно выделены параметры, зависящие от режима обтекания ( $A_i, B_i$ ), угла атаки  $\alpha(P_i(\alpha))$  и формы тела вращения ( $b_i$ ). Это дает возможность проводить анализ зависимости аэродинамических характеристик от каждого из параметров, определяющих режим течения и геометрию тела вращения, формулировать экстремальные задачи и обобщенные законы аэродинамического подобия.

Так как функция  $N_2(\alpha)$  выражается через исследованные функции  $J^I(\alpha)$  и  $J^{III}(\alpha)$  по формуле (3.2), то ее также удобно представить в виде ряда по полиномам Лежандра. Анализ этой функции и проведенные оценки для ряда конкретных тел показали, что с точностью порядка 2% этот ряд можно аппроксимировать полиномом от многочленов Лежандра степени  $n=8$ .

$$(3.11) \quad N_2(\alpha) = -B_1 \sum_{n=0}^4 b_{2n}^{I} P_{2n}(z) +$$

$$+ \frac{1}{2} A_1 \left[ b_0^{III} + b_2^{III}P_2(z) + \sum_{n=1} b_{2n+1}^{III} P_{2n+1}(z) \right]$$



Физические коэффициенты лобового сопротивления  $c_x$  и подъемной силы  $c_y$  во всем диапазоне углов атаки  $0 \leq \alpha \leq \pi$  определяются из соотношений (1.3), (1.1) и (3.10), (3.11).

4. В качестве примера применения предложенного метода расчета аэродинамических характеристик рассмотрим четырехпараметрический класс сегментально-конических тел вращения, определяемых параметрами  $\psi_k$ ,  $l_k$ ,  $\varphi_0$ ,  $R$  (фигура). Для таких тел

$$(4.1) \quad S_0 = 2\pi\rho_0^2(1 - \cos \varphi_0) + 2\pi\rho_1^2(1 - \cos \varphi_1) + S_K$$

$$\begin{aligned} \rho_0 &= R, & \rho_1 &= \frac{r_B}{\cos \psi_k}, & r_A &= R \sin \varphi_0, & \varphi_1 &= \frac{\pi}{2} - \psi_k \\ r_B &= R \sin \varphi_0 - l_k \operatorname{tg} \psi_k, & S_K &= \frac{\pi l_k (r_A + r_B)}{\cos \psi_k} \end{aligned}$$

Здесь  $S_K$  — площадь конической поверхности. Коэффициенты формы выражаются в явном виде

$$(4.2) \quad b_{2n}^{(I)} = B_{2n} \left\{ \sum_{i=0}^4 W(\rho_i, \varphi_i) \delta_{2n}(\sin \varphi_i) + S_K [1 + \chi_{2n}(\cos \psi)] \right\} \\ n = 1, 2, 3, 4$$

$$(4.3) \quad b_{2n+1}^{(III)} = B_{2n+1} \left\{ \sum_{i=0}^4 (-1)^i W^*(\rho_i, \varphi_i) \delta_{2n+1}(\sin \varphi_i) + \right. \\ \left. + \frac{\pi}{2} (r_B^2 - r_A^2) \chi_{2n+1}(\cos \psi) \right\}, \quad n = 1, 2, 3 \\ W(\rho, \varphi) = \pi \rho^2 \cos \varphi \sin^2 \varphi, \quad W^*(\rho, \varphi) = \pi \rho^2 \sin^4 \varphi \\ \delta_2(z) = 1, \quad \delta_3(z) = -\frac{5}{4}, \quad \delta_4(z) = 1 - \frac{7}{4} z^2 \\ \delta_5(z) = \left(1 - \frac{3}{4} z^2\right) \left(-\frac{7}{2}\right) \\ \delta_6(z) = 1 - \frac{9}{2} z^2 + \frac{33}{8} z^4, \quad \delta_7(z) = \frac{99}{2} \left(-\frac{3}{22} + \frac{1}{4} z^2 - \frac{13}{96} z^4\right) \\ \delta_8(z) = -11 \left(-\frac{1}{11} + \frac{3}{4} z^2 - \frac{13}{8} z^4 + \frac{65}{64} z^6\right)$$

Выражение для приведенного коэффициента лобового сопротивления  $c_x^*(\alpha)$  во всем диапазоне углов атаки  $\alpha$  дается формулой (3.10), в которой коэффициенты формы определены по (4.1) — (4.3), а характерная площадь  $S_K = \pi r_A^2$ .

Константа интегрирования  $c$  определяется из уравнения (3.10) по известному расчетному или экспериментальному значению  $c_x^*(\alpha)$ , например при  $\alpha = 0$

$$(4.4) \quad c = c_x^*(\alpha = 0) + N_2(0) - F(0) \\ F(0) = \frac{3}{2} A_1 [b_0^{(III)} + b_2^{(III)} + b_5^{(III)} + b_7^{(III)}] + \\ + 2(A_2 - B_1) \sum_{n=0}^3 \frac{3}{12 - 2n(2n+1)} b_{2n}^{(I)}$$

Расчетное значение  $c_x^*(\alpha=0)$  выражается соотношением

$$(4.5) \quad c_x^*(\alpha=0) = 2\pi\rho_0^2 \left[ \frac{A_1}{3}(1-\cos^3 \varphi_0) + \frac{A_2}{4}(1-\cos^4 \varphi_0) + \frac{B_1}{4}\sin^4 \varphi_0 \right]$$

Для конкретной геометрии (фиг. 1) с параметрами  $\Psi_k=7^\circ$ ,  $\varphi_0=30^\circ$ ,  $\bar{\rho}_1=\rho_1/r_A=0.89$ ,  $\lambda=L/2r_A=1$  коэффициенты формы  $b_n^I$ ,  $b_n^{III}$  принимают значения

$$(4.6) \quad \begin{aligned} b_0^I &= 1.07, \quad b_2^I = 0.029, \quad b_4^I = -0.093, \quad b_6^I = -0.011, \quad b_8^I = -0.003 \\ b_0^{III} &= 0.71, \quad b_2^{III} = 0.031, \quad b_3^{III} = -0.16, \quad b_5^{III} = -0.0046 \\ b_7^{III} &= -0.0055 \end{aligned}$$

Коэффициент осевой силы  $c_t=c_x \cos \alpha - c_y \sin \alpha$  такого тела вращения для различных режимов обтекания во всем диапазоне углов атаки приведен на фигуре.

Сплошная кривая рассчитана по модифицированной теории Ньютона при  $M=6$ . Точками 1 отмечены экспериментальные данные, заимствованные из работы [6]. Пунктирная кривая соответствует режиму свободно-молекулярного обтекания при диффузной схеме отражения с коэффициентом аккомодации энергии  $\alpha_e=0.8$  и  $M_\infty \geq 4$ . (Коэффициенты  $A_1=0.5$ ,  $A_2=-B_1=2$ .) Средняя кривая соответствует промежуточному режиму течения ( $M_\infty=7$ ) с учетом разреженности среды, который характеризуется параметрами  $A_1=0.635$ ,  $A_2=1.225$ ,  $B_1=0.989$ . Точками 2 показаны расчетные значения  $c_t$ , полученные методом численного интегрирования локального потока импульса (1.4) по обтекаемой поверхности тела.

Поступила 17 VI 1974

#### ЛИТЕРАТУРА

1. Бунимович А. И. Соотношения между силами, действующими на тела, движущиеся в разреженном газе, в потоке света и в гиперзвуковом ньютоновском потоке. Изв. АН СССР. МЖГ, 1973, № 4.
2. Барапцев Р. Г., Васильев Л. А., Иванов Е. В., Козачек В. В., Минайчев А. Д., Михайлов Л. В., Мурзин Н. В. Аэродинамический расчет в разреженном газе на основе гипотезы локальности. В сб.: Аэродинамика разреженных газов. Сб. 4. Изд-во Ленингр. ун-та, 1969.
3. Титчмарш Э. Ч. Разложения по собственным функциям, связанные с дифференциальными уравнениями второго порядка. Т. 1. М., Изд-во иностр. лит., 1960.
4. Лебедев Н. Н. Специальные функции и их приложения. М.—Л., Физматгиз, 1963.
5. Pike J. Newtonian lift and drag of blunt-cone cylinder bodies. AJAA Journal, 1972, vol. 10, No. 2.
6. Артонкин В. Г., Петров К. П. Исследования аэродинамических характеристик сегментально-конических тел. Тр. ЦАГИ, 1971, вып. 1361.